
Messbericht der mobilen Fluglärmmessung in Enzersdorf/Fischa, Litschausiedlung

Berichtszeitraum: 11. März bis 31. März 2014

Inhalt

1 Einführung

1.1.	Messsystem FANOMOS	Seite 3
1.2.	Messgeräte und Einstellungen	Seite 3
1.3.	Standort der Messstation	Seite 4

2 Erfassung der Schallereignisse

2.1.	Methodik und Geräuscherfassung	Seite 5
2.2.	Zuordnung zu Fluglärmereignissen	Seite 5

3 Auswertung der Fluglärmmessung

3.1.	Auswertungsmethode und Erfassungsquoten	Seite 6
3.2.	Überflughöhen der für den Messpunkt relevanten Flugbewegungen	Seite 6
3.3.	Maximalpegelverteilung der einzelnen An- und Abflugrouten	Seite 7
3.4.	Maximalpegelverteilung der einzelnen Flugzeugtypen	Seite 8, 9
3.5.	Äquivalente Dauerschallpegel (LEQ) für die versch. Betriebszustände	Seite 10
3.6.	Grafik zum Verlauf des Dauerschallpegels über den Messzeitraum	Seite 11

4 Verzeichnisse

4.1.	Abkürzungsverzeichnis und Erläuterung der versch. Dauerschallpegel	Seite 12
4.2.	Abbildungsverzeichnis	Seite 12
4.3.	Tabellenverzeichnis	Seite 12

1 Einführung

1.1. Messsystem FANOMOS

Mit FANOMOS (Flight Track and Noise Monitoring System) wurde bereits im Jahr 1990 am Flughafen Wien-Schwechat eine Fluglärm-Überwachungsanlage in Betrieb genommen.

FANOMOS misst die Fluggeräuschimmissionen aller startenden und landenden Flugzeuge und zeichnet in Verbindung mit Radardaten Flugspur, Geschwindigkeit und Flughöhe auf. Weiters liefert das System Daten für die Kontrolle von Lärmzonenberechnungen.

Am Flughafen Wien werden an 15 fixen und 3 mobilen Messstellen in Siedlungsgebieten in der Umgebung des Flughafens die Schallpegel der Überflüge registriert, und daraus die Werte für Tages-LEQ (06:00 Uhr -22:00 Uhr) und Nacht-LEQ (22:00 Uhr -06:00 Uhr) ermittelt.

Wesentliche Komponenten des Messsystems sind eine wetterfeste Mikrofoneinheit mit Windschirm, ein Messrechner (Analysator), ein GPS-System und eine Kommunikationseinheit, die eine kontinuierliche Datenübertragung gewährleistet. Eine unabhängige Energieversorgung wird mittels Brennstoffzelle gewährleistet.

Für die Geräuschauswertung wird eine spezielle Software eingesetzt, die eine automatische Unterscheidung zwischen Flug- und Fremdgeräusch trifft und eine Zuordnung der Fluginformationen eines in der Nähe befindlichen Flugzeuges durchführt.

1.2. Messgeräte und Einstellungen

Messgerät:	B&K-Analysator Typ 4441
Mikrofoneinheit:	B&K Typ 4184
Messhöhe über Grund:	4 m
Messbereich:	20 - 130 dB
Frequenzbewertung:	A
Zeitbewertung:	Slow

Ansprechpegel für Ereignisse:

Tag (06:00 Uhr bis 22:00 Uhr):	60 dB
Nacht (22:00 Uhr bis 06:00 Uhr):	55 dB
Minstdauer:	8 Sek.

Eichtechnische Prüfung:

Die verwendeten Messgeräte und Mikrofone entsprechen der Genauigkeitsklasse 0,7 des österr. Maß- und Eichgesetzes, was eine Messgenauigkeit von +/- 0,7 dB ergibt.

Die eichtechnischen Prüfungen erfolgen vorschriftsgemäß alle 2 Jahre in Übereinstimmung mit IEC 60651 Kl. 1, IEC 60804 Kl. 1 und IEC 61672 Kl.1.

1 Einführung

1.3. Standort der Messstelle

Messpunkt: Enzersdorf/Fischa
Litschausiedlung

Abb. 1: Übersichtskarte:

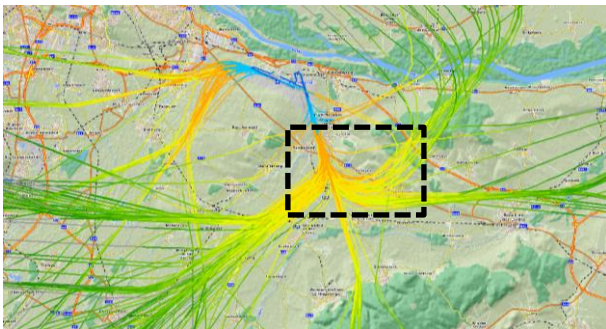
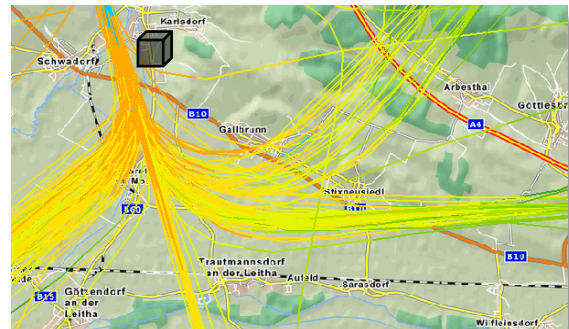


Abb. 2: Detailkarte:



 ... Detailausschnitt

 ... Messpunkt

Abb. 3: Foto der Messstelle:



Abb. 4: Messgerät und Modemeinheit:



2 Erfassung der Schallereignisse

2.1. Methodik und Geräuscherfassung

Als "Schallereignis" gelten jene Geräusche, die einen Messschwellenwert für eine bestimmte Mindestdauer übersteigen. Hierbei ist zwischen Fluglärmereignissen und Fremdgeräuschen (wie z.B. KFZ, Rasenmäher, ...) zu unterscheiden.

Tab. 1: Schallereignisse am Messpunkt für den gesamten Messzeitraum

registrierter Schallereignisse innerhalb des Messzeitraums		
Tag 06:00 Uhr - 22:00 Uhr	Nacht 22:00 Uhr - 06:00 Uhr	Gesamt 00:00 Uhr - 24:00 Uhr
1.651	102	1.763

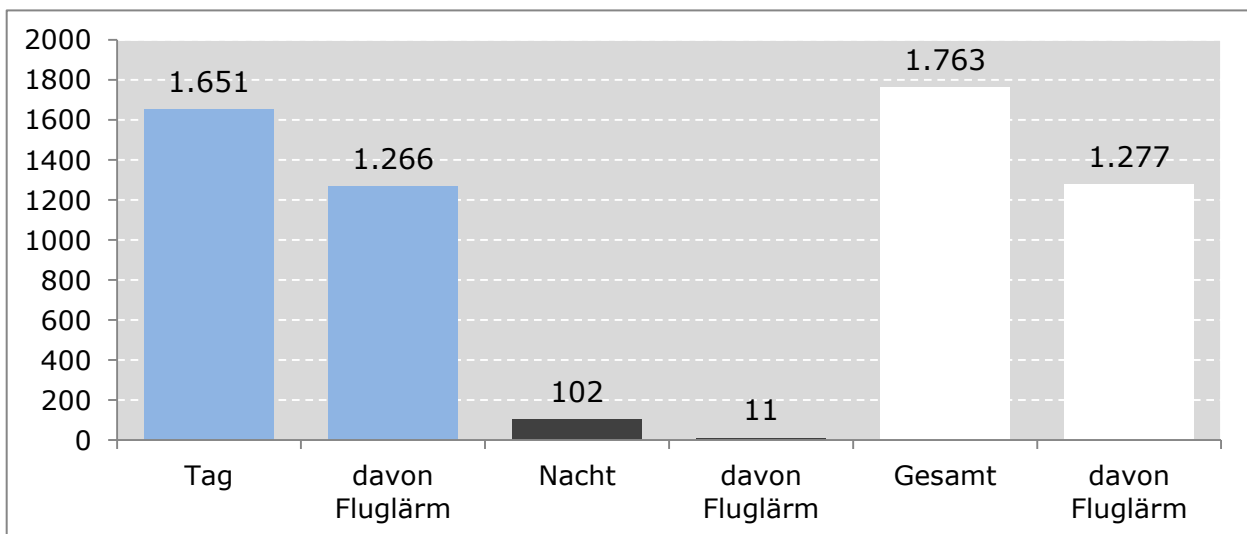
2.2. Zuordnung zu Fluglärmereignissen

Die Zuordnung zu Fluglärmereignissen basiert auf einer Korrelation mit den Radardaten der österr. Flugsicherung (Austro Control). Hierbei wird die Fluginformationen eines in der Nähe befindlichen Flugzeuges automatisch durchgeführt und manuell überprüft.

Tab. 2: zugeordneten Fluglärmereignisse am Messpunkt für den gesamten Messzeitraum

zugeordneten Fluglärmereignisse innerhalb des Messzeitraums		
Tag 06:00 Uhr - 22:00 Uhr	Nacht 22:00 Uhr - 06:00 Uhr	Gesamt 00:00 Uhr - 24:00 Uhr
1.266	11	1.277

Abb. 5: Schallereignisse am Messpunkt



3 Auswertung der Fluglärmmessung

3.1. Auswertungsmethode und Erfassungsquoten

Zur Erfassung der Anzahl aller Flüge im Bereich für den Messzeitraum wurden im Umkreis von 4.000 m um den Messpunkt alle Flugspuren anhand der Radardaten analysiert und den jeweiligen Start- und Landerichtungen bzw. den für den Messpunkt relevanten Flugbewegungen zugeordnet.

Tab. 3: Anteil der relevanten Flugbewegungen im Bereich

Starts auf Piste 16	davon im Bereich	Anteil
1.138	1.088	95,6%

Tab. 4: Erfassungsquote der relevanten Flugbewegungen

relevante Flugbewegungen im Bereich	Anzahl	Anzahl der zugeordneten Lärmereignisse	Erfassungsquote
Starts Piste 16	1.088	1.028	94,5%

Nicht erfasste Flugbewegungen sind

- Flugbewegungen, welche von Fremdgeräuschen (z.B.: KFZ, Rasenmäher) überlagert wurden
- Flugbewegungen, die aufgrund ihrer Entfernung zum Messpunkt bzw. der Type des Flugzeuges die Mindestdauer bzw. den Mindestpegel nicht erreichen.

3.2. Überflughöhen der für den Messpunkt relevanten Flugbewegungen

Nachstehende Tabelle zeigt die durchschnittlichen Überflughöhen am Messpunkt.

Tab. 5: Überflughöhen der relevanten Flugbewegungen

Höhen in ft MSL	Höhe 90 % der Flüge über	durchschnittliche Höhe
Starts auf Piste 16	1.400 ft MSL	3.300 ft MSL

3 Auswertung der Fluglärmmessung

3.3. Maximalpegelverteilung der einzelnen An- und Abflugrouten

Die Tabelle zeigt die für die angegebene Pistenrichtung bzw. Abflugstrecke energetisch gemittelten Maximalpegel in dBA der identifizierten Überflüge über dem Messpunkt.

Tab. 6: Maximalpegel für Landungen in dBA

Landungen Pistenrichtung	Anzahl	Anteil in %	* Durchschn. Max.-Pegel	* Durchschn. Dauer
Piste 11	0	0,0%	-	-
Piste 16	0	0,0%	-	-
Piste 29	26	11,6%	66,7	13,0
Piste 34	199	88,4%	67,4	12,1
Summe Landungen	225	100,0%	67,4	12,8

Tab. 7: Maximalpegel für Starts in dBA

Starts Pistenrichtung Abflugstrecke	Anzahl	Anteil in %	* Durchschn. Max.-Pegel	* Durchschn. Dauer
R11 ADAMA1A	2	0,2%	58,5	9,0
R11 KOXER1A	6	0,6%	58,5	12,2
R11 MOTIX1A	1	0,1%	60,1	8,5
R16 ADAMA1B	152	14,7%	76,1	27,2
R16 DITIS1B	50	4,8%	76,4	26,3
R16 KOXER1B	209	20,2%	75,2	26,2
R16 LANUX4B	85	8,2%	74,4	25,9
R16 LEDVA1B	12	1,2%	68,6	14,5
R16 LUGIM3B	53	5,1%	74,4	25,4
R16 MOTIX3B	90	8,7%	73,2	24,4
R16 OSPEN3B	47	4,5%	74,7	27,0
R16 SASAL2B	93	9,0%	74,0	25,6
R16 SITNI5B	147	14,2%	74,0	25,1
R16 STEIN2B	27	2,6%	73,5	25,5
R16 UMBIL4B	63	6,1%	73,3	21,8
Summe Starts	1.037	100,0%	74,7	25,4

Tab. 8: Maximalpegel für Fremdgeräusche in dBA

Erfasste Fremdgeräusche:	486	72,8	16,6
--------------------------	-----	------	------

*) Anmerkung:

Energetisch gemittelter Maximalpegel in dBA
Durchschnittliche Dauer in Sekunden

3 Auswertung der Fluglärmmessung

3.4. Maximalpegelverteilung der einzelnen Flugzeugtypen

Die Tabelle zeigt die Verteilung der Maximalpegel der Flugzeugtypen für ausgewählte Pistenrichtungen bzw. Abflugstrecken geordnet nach der Höhe der verursachten Maximalpegel.

Tab. 9: Maximalpegel der einzelnen Flugzeugtypen für relevante Flugbewegungen in dBA

Starts auf Piste 16 auf SID LANUX4B, LEDVA1B, DITIS1B, ADAMA1B, KOXER1B						
Flugzeugtyp	Code	Anzahl	Anteil in %	* Durchschn. Max.-Pegel	* Durchschn. Dauer	
BOEING 767/300 W	B7673W	30	2,9%	80,9	28,3	
BOEING 777-200 FREIGHT	B7772F	5	0,5%	80,9	31,1	
BOEING 747 CARGO	B747F	6	0,6%	79,8	36,9	
BOEING 747-400 CARGO	B744F	4	0,4%	79,5	40,5	
AIRBUS A330/200	A3302	7	0,7%	78,8	34,6	
BOEING 777-300 W	B7773W	6	0,6%	78,0	24,9	
BOEING 777-200	B7772	8	0,8%	77,1	26,2	
BOEING 737-500	B7375	3	0,3%	76,3	34,5	
BOEING 737-800	B7378	7	0,7%	76,0	28,3	
BOEING 737-800 W	B7378W	40	3,9%	75,9	29,0	
EMBRAER 195	E195	13	1,3%	75,8	29,6	
BOEING 757-200 FRACHT	B7572F	3	0,3%	75,8	37,0	
AIRBUS A321/200	A3212	70	6,8%	75,7	27,4	
BOEING 737-700 W	B7377W	5	0,5%	75,1	28,0	
EMBRAER 190	E190	61	5,9%	75,1	26,2	
AIRBUS A321	A321	32	3,1%	75,0	26,7	
FOKKER 70	FK70	61	5,9%	74,3	26,3	
EMBRAER 175	E175	14	1,4%	74,0	32,3	
FOKKER 100	FK100	133	12,9%	74,0	28,1	
AIRBUS A320S	A320S	9	0,9%	73,8	21,9	
AIRBUS A320	A320	221	21,5%	73,8	25,9	
EMBRAER 170	E170	12	1,2%	73,8	28,5	
BOEING 737-300	B7373	7	0,7%	73,3	27,9	
AIRBUS A319	A319	115	11,2%	73,3	24,9	
GULFSTREAM V	G5	3	0,3%	72,4	21,0	
HS125	H25B	5	0,5%	71,9	22,3	
AIRBUS A318-111	A3181	5	0,5%	70,7	25,3	
CHALLENGER 30	CL30	8	0,8%	70,5	22,2	
ATR 72	ATR72	3	0,3%	70,4	14,5	
ATR42-500	ATR425	3	0,3%	69,5	14,2	
C 25 A	C25A	7	0,7%	68,8	15,4	
REGIONAL JET CL65	CANRJ	4	0,4%	68,0	18,0	
DE HAVILLAND	DH8400	72	7,0%	67,8	12,9	
CESSNA 560	C56X	5	0,5%	65,8	14,6	

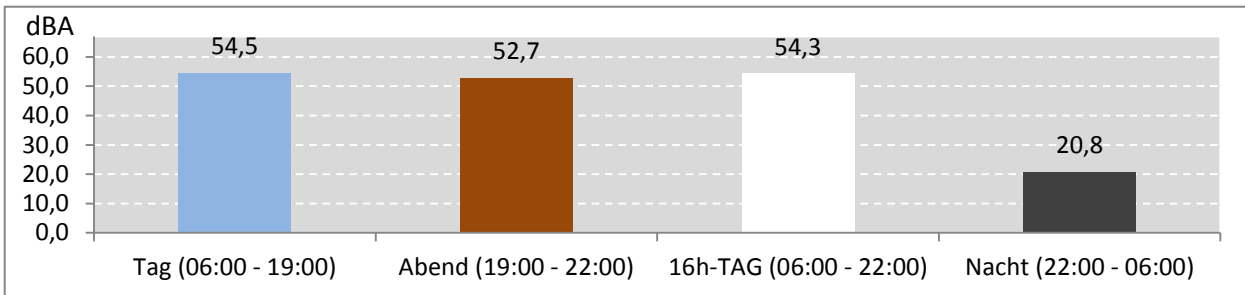
Typen < 3 Erfassungen	41	4,0%	-	-
Summe	1028	100,0%	67,3	29,0

*) Anmerkung:
 Energetisch gemittelter Maximalpegel in dBA
 Durchschnittliche Dauer in Sekunden

3 Auswertung der Fluglärmmessung

3.5. Äquivalenter Dauerschallpegel (LEQ) für die verschiedenen Betriebszustände

Abb. 6: LEQ für den gesamten Messzeitraum während der Messdauer (Gesamt: 474 Stunden)



Als Information, welche Pistenbetriebsrichtungen am Messpunkt die höhere Schallimmission verursachen, werden die jeweiligen LEQs auch auf jene Zeiträume bezogen, in denen die gleichen Windverhältnisse geherrscht haben (westliche Winde – Windstille – östlichen Winde).

Abb. 7: LEQ bei Pistenbetriebsrichtung "westliche Winde" 249 Stunden im Messzeitraum

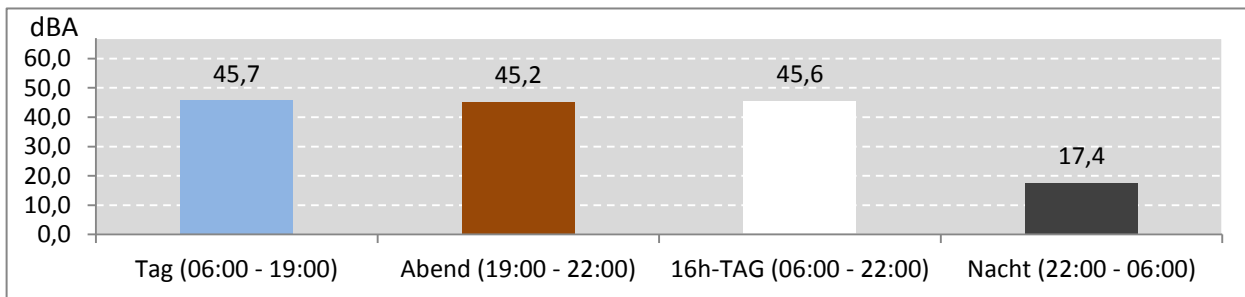


Abb. 8: LEQ bei Pistenbetriebsrichtung "Windstille" 150 Stunden im Messzeitraum

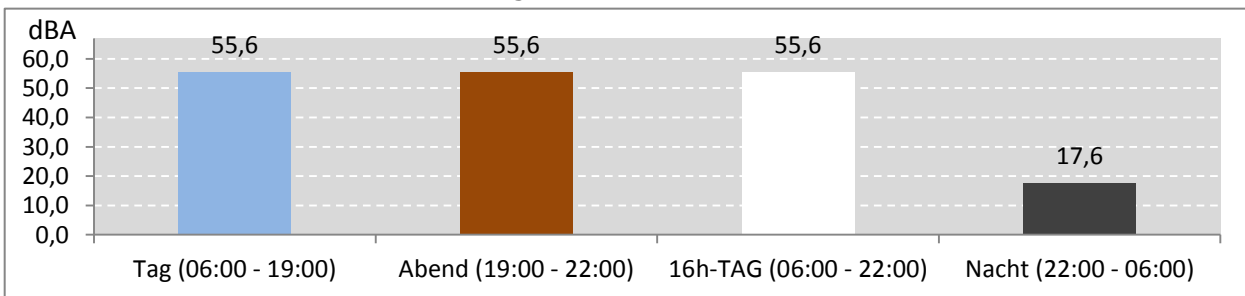
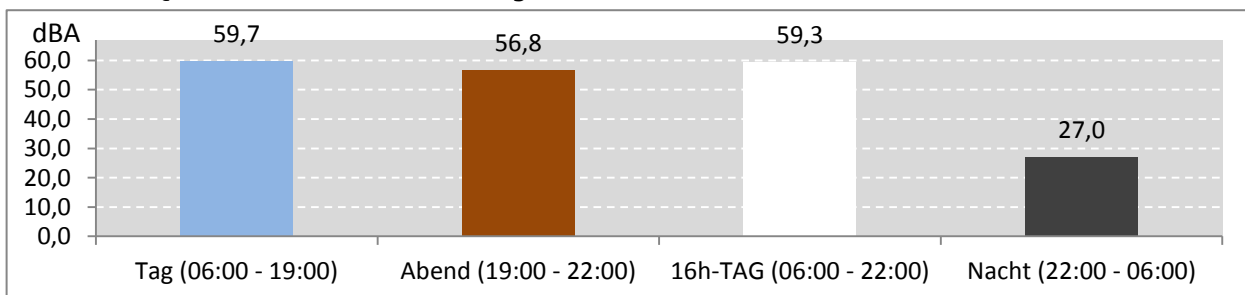


Abb. 9: LEQ bei Pistenbetriebsrichtung "östliche Winde" 75 Stunden im Messzeitraum



3 Auswertung der Fluglärmmessung

3.6. Grafiken zum Verlauf des Dauerschallpegels über den Messzeitraum

Die Grafiken zeigen den Verlauf der täglichen Dauerschallpegel über den Messzeitraum und den Verlauf der über den Messzeitraum gemittelten Stunden-LEQs für Flugverkehr.

Abb.10: LEQ für Flugverkehr über den Messzeitraum

Messdauer: 474 Stunden

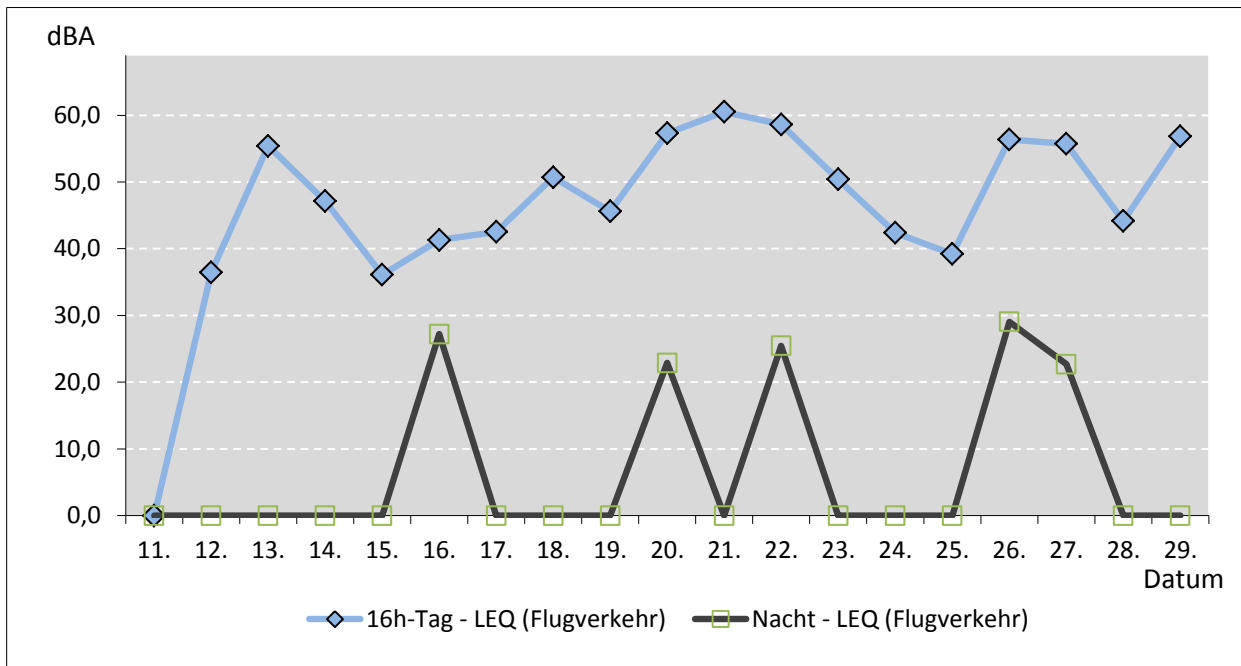
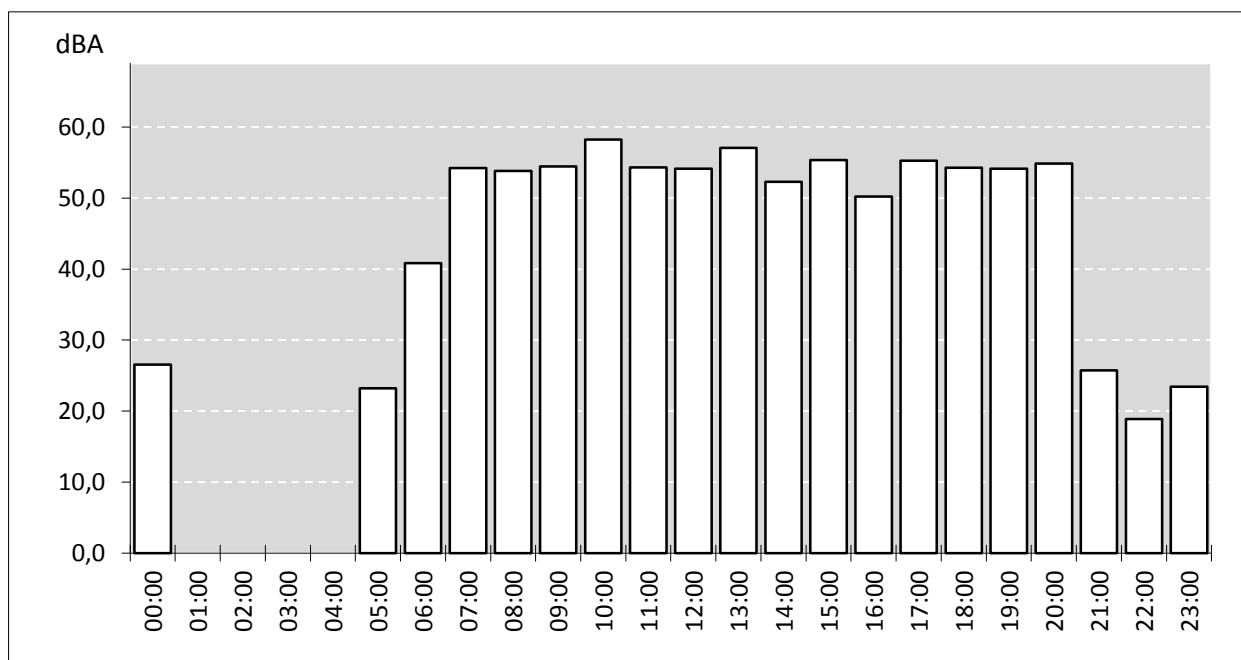


Abb. 11: Verlauf der über den Meßzeitraum gemittelten Stunden-LEQs für Flugverkehr



4 Verzeichnisse

4.1. Abkürzungen und Erläuterung der verschiedenen Dauerschallpegel

LEQ:

Äquivalenter Dauerschallpegel: Energetische Summe der einzelnen Schallereignisse bezogen auf einen bestimmten Zeitraum unter Berücksichtigung des jeweiligen Spitzenpegels, der Dauer und der Häufigkeit des Einzelereignisses; ergibt einen Zahlenwert, der der Summe der einzelnen Lärmereignisse innerhalb des Betrachtungszeitraumes entspricht, d.h. äquivalent ist.

Tages-LEQ:

Äquivalenter Dauerschallpegel bezogen auf den Tag (06:00 Uhr bis 19:00 Uhr)

Abend-LEQ:

Äquivalenter Dauerschallpegel bezogen auf den Abend (19:00 Uhr bis 22:00 Uhr)

Tages-LEQ (16h):

Äquivalenter Dauerschallpegel bezogen auf 16 Stunden (06:00 Uhr bis 22:00 Uhr)

Nacht-LEQ:

Äquivalenter Dauerschallpegel bezogen auf die Nacht (22.00 Uhr bis 06:00 Uhr)

4.2. Abbildungsverzeichnis

Abb. 1: Übersichtskarte Messpunkt

Abb. 2: Detailkarte Messpunkt

Abb. 3: Foto der Messstelle

Abb. 4: Messgerät und Modemeinheit

Abb. 5: Schallereignisse am Messpunkt

Abb. 6: LEQ für den gesamten Messzeitraum während der Messdauer

Abb. 7: LEQ bei Pistenbetriebsrichtung "westliche Winde"

Abb. 8: LEQ bei Pistenbetriebsrichtung "Windstille"

Abb. 9: LEQ bei Pistenbetriebsrichtung "östliche Winde"

Abb. 10: LEQ für Flugverkehr über den Messzeitraum

Abb. 11: Verlauf der über den Meßzeitraum gemittelten Stunden-LEQs für Flugverkehr

4.3. Tabellenverzeichnis

Tab. 1: Schallereignisse am Messpunkt für den gesamten Messzeitraum

Tab. 2: zugeordnete Fluglärmereignisse am Messpunkt

Tab. 3: Anteil der relevanten Flugbewegungen im Bereich

Tab. 4: Erfassungsquote der relevanten Flugbewegungen

Tab. 5: Überflughöhen der relevanten Flugbewegungen

Tab. 6: Maximalpegel für Landungen in dBA

Tab. 7: Maximalpegel für Starts in dBA

Tab. 8: Maximalpegel für Fremdgeräusche in dBA

Tab. 9: Maximalpegel der einzelnen Flugzeugtypen für relevante Flugbewegungen